Ein und Ausgabe: Farbmetrisches Drucker-Reflektiv-System ORS19_96, L*=19_96 für relativen CIELAB-Buntton h^* = lab^*h^* = h_{ab}/360 = 0.451 u^*_e = *g00b*

Daten für jede Farbe:
*lab*tch** und *lab*icu**
Bunttontexte:
u^*_e = *g00b* u^*_d = *y99l*
Kontrastreduzierungsfaktor:
c_R = 1.0
Dreiecks-Helligkeit t^*

ORS19_96a; adaptierte CIELAB-Daten					
u^*_e	$L^*=L^*_a$	a^*_a	b^*_a	$C^*_{ab,a}$	$h^*_{ab,a}$
O_{Ma}	48.75	65.07	39.43	76.08	31
Y_{Ma}	90.92	−10.29	87.24	87.85	97
L_{Ma}	52.69	−65.44	20.75	68.65	162
C_{Ma}	59.61	−28.98	−46.22	54.56	238
V_{Ma}	28.39	23.63	−44.13	50.06	298
M_{Ma}	49.58	73.93	−9.56	74.55	353
N_{Ma}	18.89	0.0	0.0	0.0	0
W_{Ma}	96.9	0.0	0.0	0.0	0
R_{CIE}	39.92	58.74	27.99	65.07	25
J_{CIE}	81.26	−2.89	71.56	71.62	92
G_{CIE}	52.23	−42.42	13.6	44.55	162
B_{CIE}	30.57	1.41	−46.47	46.49	272

Daten für Maximalfarbe (Ma):
*LAB*LAB**$_{Ma}$: 53 −65 21
*LAB*LCH**$_{Ma}$: 53 69 162
*lab*rgb**$_{Ma}$: 0.0 1.0 0.0
*lab*olv**$_{Ma}$: 0.0 1.0 0.0
Dreiecks-Helligkeit t^*

%Umfang
u^*_{rel} = 89
%Regularität
$g^*_{H,rel}$ = 72
$g^*_{C,rel}$ = 57

ORS19_96a; adaptierte CIELAB-Daten						
u^*_e	$L^*=L^*_a$	a^*_a	b^*_a	$C^*_{ab,a}$	$h^*_{ab,a}$	u^*_d
r00j	48.88	66.47	31.67	73.63	25	*m84o*
r25j	55.85	52.39	47.48	70.7	42	*o17y*
r50j	65.45	35.22	58.37	68.17	59	*o42y*
r75j	75.19	17.82	69.41	71.66	76	*o67y*
j00g	87.03	−3.35	82.83	82.9	92	*o92y*
j25g	80.72	−25.01	69.5	73.86	110	*y20l*
j50g	70.64	−39.54	51.97	65.3	127	*y46l*
j75g	61.93	−52.1	36.83	63.8	145	*y72l*
g00b	52.8	−65.28	20.93	68.56	162	*y99l*
g25b	55.7	−49.58	−8.39	50.28	190	*l36c*
g50b	57.82	−38.4	−28.92	48.07	217	*l72c*
g75b	55.5	−22.05	−45.95	50.97	244	*c11v*
b00r	41.6	1.37	−45.01	45.03	272	*c56v*
b25r	29.0	25.08	−43.13	49.89	300	*v04m*
b50r	38.04	46.53	−28.39	54.51	329	*v55m*
b75r	49.48	72.88	−3.76	72.98	357	*m11o*

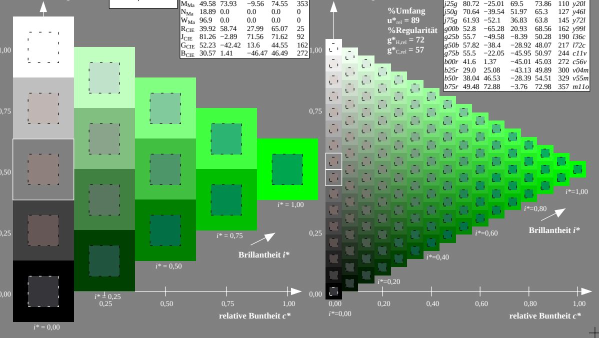

Ein und Ausgabe: Farbmetrisches Drucker-Reflektiv-System ORS19_96, L*=19_96 für relativen CIELAB-Buntton h^* = lab^*h^* = h_{ab}/360 = 0.527 u^*_e = *g25b*

Daten für jede Farbe:
*lab*tch** und *lab*icu**
Bunttontexte:
u^*_e = *g25b* u^*_d = *l36c*
Kontrastreduzierungsfaktor:
c_R = 1.0
Dreiecks-Helligkeit t^*

ORS19_96a; adaptierte CIELAB-Daten					
u^*_e	$L^*=L^*_a$	a^*_a	b^*_a	$C^*_{ab,a}$	$h^*_{ab,a}$
O_{Ma}	48.75	65.07	39.43	76.08	31
Y_{Ma}	90.92	−10.29	87.24	87.85	97
L_{Ma}	52.69	−65.44	20.75	68.65	162
C_{Ma}	59.61	−28.98	−46.22	54.56	238
V_{Ma}	28.39	23.63	−44.13	50.06	298
M_{Ma}	49.58	73.93	−9.56	74.55	353
N_{Ma}	18.89	0.0	0.0	0.0	0
W_{Ma}	96.9	0.0	0.0	0.0	0
R_{CIE}	39.92	58.74	27.99	65.07	25
J_{CIE}	81.26	−2.89	71.56	71.62	92
G_{CIE}	52.23	−42.42	13.6	44.55	162
B_{CIE}	30.57	1.41	−46.47	46.49	272

Daten für Maximalfarbe (Ma):
*LAB*LAB**$_{Ma}$: 56 −50 −8
*LAB*LCH**$_{Ma}$: 56 50 189
*lab*rgb**$_{Ma}$: 0.0 1.0 0.5
*lab*olv**$_{Ma}$: 0.0 1.0 0.36
Dreiecks-Helligkeit t^*

%Umfang
u^*_{rel} = 89
%Regularität
$g^*_{H,rel}$ = 72
$g^*_{C,rel}$ = 57

ORS19_96a; adaptierte CIELAB-Daten						
u^*_e	$L^*=L^*_a$	a^*_a	b^*_a	$C^*_{ab,a}$	$h^*_{ab,a}$	u^*_d
r00j	48.88	66.47	31.67	73.63	25	*m84o*
r25j	55.85	52.39	47.48	70.7	42	*o17y*
r50j	65.45	35.22	58.37	68.17	59	*o42y*
r75j	75.19	17.82	69.41	71.66	76	*o67y*
j00g	87.03	−3.35	82.83	82.9	92	*o92y*
j25g	80.72	−25.01	69.5	73.86	110	*y20l*
j50g	70.64	−39.54	51.97	65.3	127	*y46l*
j75g	61.93	−52.1	36.83	63.8	145	*y72l*
g00b	52.8	−65.28	20.93	68.56	162	*y99l*
g25b	55.7	−49.58	−8.39	50.28	190	*l36c*
g50b	57.82	−38.4	−28.92	48.07	217	*l72c*
g75b	55.5	−22.05	−45.95	50.97	244	*c11v*
b00r	41.6	1.37	−45.01	45.03	272	*c56v*
b25r	29.0	25.08	−43.13	49.89	300	*v04m*
b50r	38.04	46.53	−28.39	54.51	329	*v55m*
b75r	49.48	72.88	−3.76	72.98	357	*m11o*

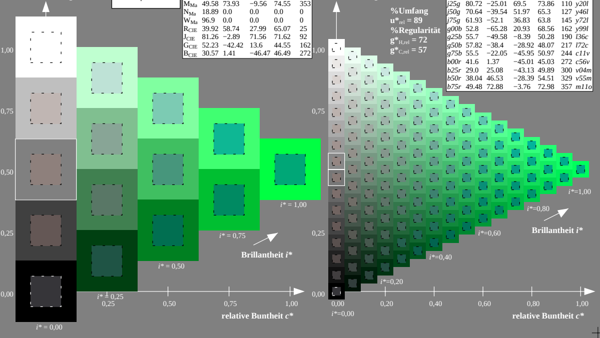

Ein und Ausgabe: Farbmetrisches Drucker-Reflektiv-System ORS19_96, L*=19_96 für relativen CIELAB-Buntton h^* = lab^*h^* = h_{ab}/360 = 0.603 u^*_e = *g50b*

Daten für jede Farbe:
*lab*tch** und *lab*icu**
Bunttontexte:
u^*_e = *g50b* u^*_d = *l72c*
Kontrastreduzierungsfaktor:
c_R = 1.0
Dreiecks-Helligkeit t^*

ORS19_96a; adaptierte CIELAB-Daten					
u^*_e	$L^*=L^*_a$	a^*_a	b^*_a	$C^*_{ab,a}$	$h^*_{ab,a}$
O_{Ma}	48.75	65.07	39.43	76.08	31
Y_{Ma}	90.92	−10.29	87.24	87.85	97
L_{Ma}	52.69	−65.44	20.75	68.65	162
C_{Ma}	59.61	−28.98	−46.22	54.56	238
V_{Ma}	28.39	23.63	−44.13	50.06	298
M_{Ma}	49.58	73.93	−9.56	74.55	353
N_{Ma}	18.89	0.0	0.0	0.0	0
W_{Ma}	96.9	0.0	0.0	0.0	0
R_{CIE}	39.92	58.74	27.99	65.07	25
J_{CIE}	81.26	−2.89	71.56	71.62	92
G_{CIE}	52.23	−42.42	13.6	44.55	162
B_{CIE}	30.57	1.41	−46.47	46.49	272

Daten für Maximalfarbe (Ma):
*LAB*LAB**$_{Ma}$: 58 −38 −29
*LAB*LCH**$_{Ma}$: 58 48 216
*lab*rgb**$_{Ma}$: 0.0 1.0 1.0
*lab*olv**$_{Ma}$: 0.0 1.0 0.72
Dreiecks-Helligkeit t^*

%Umfang
u^*_{rel} = 89
%Regularität
$g^*_{H,rel}$ = 72
$g^*_{C,rel}$ = 57

ORS19_96a; adaptierte CIELAB-Daten						
u^*_e	$L^*=L^*_a$	a^*_a	b^*_a	$C^*_{ab,a}$	$h^*_{ab,a}$	u^*_d
r00j	48.88	66.47	31.67	73.63	25	*m84o*
r25j	55.85	52.39	47.48	70.7	42	*o17y*
r50j	65.45	35.22	58.37	68.17	59	*o42y*
r75j	75.19	17.82	69.41	71.66	76	*o67y*
j00g	87.03	−3.35	82.83	82.9	92	*o92y*
j25g	80.72	−25.01	69.5	73.86	110	*y20l*
j50g	70.64	−39.54	51.97	65.3	127	*y46l*
j75g	61.93	−52.1	36.83	63.8	145	*y72l*
g00b	52.8	−65.28	20.93	68.56	162	*y99l*
g25b	55.7	−49.58	−8.39	50.28	190	*l36c*
g50b	57.82	−38.4	−28.92	48.07	217	*l72c*
g75b	55.5	−22.05	−45.95	50.97	244	*c11v*
b00r	41.6	1.37	−45.01	45.03	272	*c56v*
b25r	29.0	25.08	−43.13	49.89	300	*v04m*
b50r	38.04	46.53	−28.39	54.51	329	*v55m*
b75r	49.48	72.88	−3.76	72.98	357	*m11o*

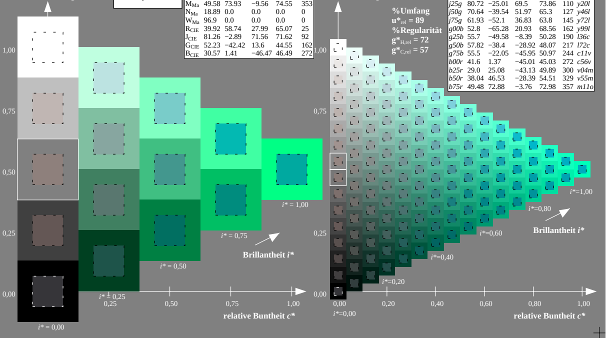

Ein und Ausgabe: Farbmetrisches Drucker-Reflektiv-System ORS19_96, L*=19_96 für relativen CIELAB-Buntton h^* = lab^*h^* = h_{ab}/360 = 0.679 u^*_e = *g75b*

Daten für jede Farbe:
*lab*tch** und *lab*icu**
Bunttontexte:
u^*_e = *g75b* u^*_d = *c11v*
Kontrastreduzierungsfaktor:
c_R = 1.0
Dreiecks-Helligkeit t^*

ORS19_96a; adaptierte CIELAB-Daten					
u^*_e	$L^*=L^*_a$	a^*_a	b^*_a	$C^*_{ab,a}$	$h^*_{ab,a}$
O_{Ma}	48.75	65.07	39.43	76.08	31
Y_{Ma}	90.92	−10.29	87.24	87.85	97
L_{Ma}	52.69	−65.44	20.75	68.65	162
C_{Ma}	59.61	−28.98	−46.22	54.56	238
V_{Ma}	28.39	23.63	−44.13	50.06	298
M_{Ma}	49.58	73.93	−9.56	74.55	353
N_{Ma}	18.89	0.0	0.0	0.0	0
W_{Ma}	96.9	0.0	0.0	0.0	0
R_{CIE}	39.92	58.74	27.99	65.07	25
J_{CIE}	81.26	−2.89	71.56	71.62	92
G_{CIE}	52.23	−42.42	13.6	44.55	162
B_{CIE}	30.57	1.41	−46.47	46.49	272

Daten für Maximalfarbe (Ma):
*LAB*LAB**$_{Ma}$: 55 −22 −46
*LAB*LCH**$_{Ma}$: 55 51 244
*lab*rgb**$_{Ma}$: 0.0 0.5 1.0
*lab*olv**$_{Ma}$: 0.0 0.89 1.0
Dreiecks-Helligkeit t^*

%Umfang
u^*_{rel} = 89
%Regularität
$g^*_{H,rel}$ = 72
$g^*_{C,rel}$ = 57

ORS19_96a; adaptierte CIELAB-Daten						
u^*_e	$L^*=L^*_a$	a^*_a	b^*_a	$C^*_{ab,a}$	$h^*_{ab,a}$	u^*_d
r00j	48.88	66.47	31.67	73.63	25	*m84o*
r25j	55.85	52.39	47.48	70.7	42	*o17y*
r50j	65.45	35.22	58.37	68.17	59	*o42y*
r75j	75.19	17.82	69.41	71.66	76	*o67y*
j00g	87.03	−3.35	82.83	82.9	92	*o92y*
j25g	80.72	−25.01	69.5	73.86	110	*y20l*
j50g	70.64	−39.54	51.97	65.3	127	*y46l*
j75g	61.93	−52.1	36.83	63.8	145	*y72l*
g00b	52.8	−65.28	20.93	68.56	162	*y99l*
g25b	55.7	−49.58	−8.39	50.28	190	*l36c*
g50b	57.82	−38.4	−28.92	48.07	217	*l72c*
g75b	55.5	−22.05	−45.95	50.97	244	*c11v*
b00r	41.6	1.37	−45.01	45.03	272	*c56v*
b25r	29.0	25.08	−43.13	49.89	300	*v04m*
b50r	38.04	46.53	−28.39	54.51	329	*v55m*
b75r	49.48	72.88	−3.76	72.98	357	*m11o*

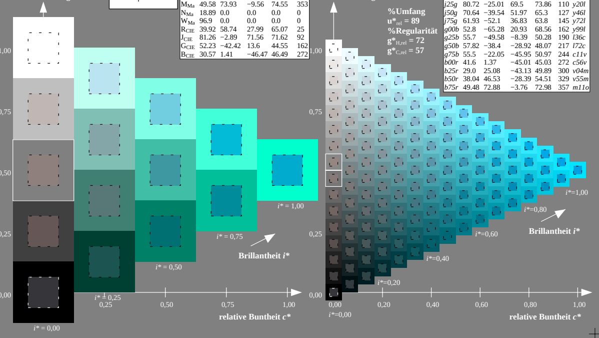

Ein und Ausgabe: Farbmetrisches Drucker-Reflektiv-System ORS19_96, L*=19_96 für relativen CIELAB-Buntton h^* = lab^*h^* = h_{ab}/360 = 0.755 u^*_e = *b00r*

Daten für jede Farbe:
*lab*tch** und *lab*icu**
Bunttontexte:
u^*_e = *b00r* u^*_d = *c56v*
Kontrastreduzierungsfaktor:
c_R = 1.0
Dreiecks-Helligkeit t^*

ORS19_96a; adaptierte CIELAB-Daten					
u^*_e	$L^*=L^*_a$	a^*_a	b^*_a	$C^*_{ab,a}$	$h^*_{ab,a}$
O_{Ma}	48.75	65.07	39.43	76.08	31
Y_{Ma}	90.92	−10.29	87.24	87.85	97
L_{Ma}	52.69	−65.44	20.75	68.65	162
C_{Ma}	59.61	−28.98	−46.22	54.56	238
V_{Ma}	28.39	23.63	−44.13	50.06	298
M_{Ma}	49.58	73.93	−9.56	74.55	353
N_{Ma}	18.89	0.0	0.0	0.0	0
W_{Ma}	96.9	0.0	0.0	0.0	0
R_{CIE}	39.92	58.74	27.99	65.07	25
J_{CIE}	81.26	−2.89	71.56	71.62	92
G_{CIE}	52.23	−42.42	13.6	44.55	162
B_{CIE}	30.57	1.41	−46.47	46.49	272

Daten für Maximalfarbe (Ma):
*LAB*LAB**$_{Ma}$: 42 1 −45
*LAB*LCH**$_{Ma}$: 42 45 271
*lab*rgb**$_{Ma}$: 0.0 0.0 1.0
*lab*olv**$_{Ma}$: 0.0 0.44 1.0
Dreiecks-Helligkeit t^*

%Umfang
u^*_{rel} = 89
%Regularität
$g^*_{H,rel}$ = 72
$g^*_{C,rel}$ = 57

ORS19_96a; adaptierte CIELAB-Daten						
u^*_e	$L^*=L^*_a$	a^*_a	b^*_a	$C^*_{ab,a}$	$h^*_{ab,a}$	u^*_d
r00j	48.88	66.47	31.67	73.63	25	*m84o*
r25j	55.85	52.39	47.48	70.7	42	*o17y*
r50j	65.45	35.22	58.37	68.17	59	*o42y*
r75j	75.19	17.82	69.41	71.66	76	*o67y*
j00g	87.03	−3.35	82.83	82.9	92	*o92y*
j25g	80.72	−25.01	69.5	73.86	110	*y20l*
j50g	70.64	−39.54	51.97	65.3	127	*y46l*
j75g	61.93	−52.1	36.83	63.8	145	*y72l*
g00b	52.8	−65.28	20.93	68.56	162	*y99l*
g25b	55.7	−49.58	−8.39	50.28	190	*l36c*
g50b	57.82	−38.4	−28.92	48.07	217	*l72c*
g75b	55.5	−22.05	−45.95	50.97	244	*c11v*
b00r	41.6	1.37	−45.01	45.03	272	*c56v*
b25r	29.0	25.08	−43.13	49.89	300	*v04m*
b50r	38.04	46.53	−28.39	54.51	329	*v55m*
b75r	49.48	72.88	−3.76	72.98	357	*m11o*

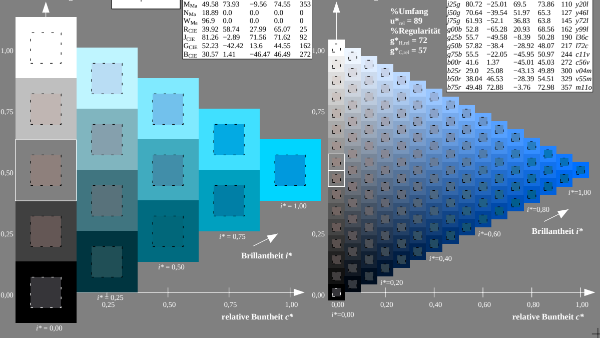

Ein und Ausgabe: Farbmetrisches Drucker-Reflektiv-System ORS19_96, L*=19_96 für relativen CIELAB-Buntton h^* = lab^*h^* = h_{ab}/360 = 0.834 u^*_e = *b25r*

Daten für jede Farbe:
*lab*tch** und *lab*icu**
Bunttontexte:
u^*_e = *b25r* u^*_d = *v04m*
Kontrastreduzierungsfaktor:
c_R = 1.0
Dreiecks-Helligkeit t^*

ORS19_96a; adaptierte CIELAB-Daten					
u^*_e	$L^*=L^*_a$	a^*_a	b^*_a	$C^*_{ab,a}$	$h^*_{ab,a}$
O_{Ma}	48.75	65.07	39.43	76.08	31
Y_{Ma}	90.92	−10.29	87.24	87.85	97
L_{Ma}	52.69	−65.44	20.75	68.65	162
C_{Ma}	59.61	−28.98	−46.22	54.56	238
V_{Ma}	28.39	23.63	−44.13	50.06	298
M_{Ma}	49.58	73.93	−9.56	74.55	353
N_{Ma}	18.89	0.0	0.0	0.0	0
W_{Ma}	96.9	0.0	0.0	0.0	0
R_{CIE}	39.92	58.74	27.99	65.07	25
J_{CIE}	81.26	−2.89	71.56	71.62	92
G_{CIE}	52.23	−42.42	13.6	44.55	162
B_{CIE}	30.57	1.41	−46.47	46.49	272

Daten für Maximalfarbe (Ma):
*LAB*LAB**$_{Ma}$: 29 25 −43
*LAB*LCH**$_{Ma}$: 29 50 300
*lab*rgb**$_{Ma}$: 0.5 0.0 1.0
*lab*olv**$_{Ma}$: 0.04 0.0 1.0
Dreiecks-Helligkeit t^*

%Umfang
u^*_{rel} = 89
%Regularität
$g^*_{H,rel}$ = 72
$g^*_{C,rel}$ = 57

ORS19_96a; adaptierte CIELAB-Daten						
u^*_e	$L^*=L^*_a$	a^*_a	b^*_a	$C^*_{ab,a}$	$h^*_{ab,a}$	u^*_d
r00j	48.88	66.47	31.67	73.63	25	*m84o*
r25j	55.85	52.39	47.48	70.7	42	*o17y*
r50j	65.45	35.22	58.37	68.17	59	*o42y*
r75j	75.19	17.82	69.41	71.66	76	*o67y*
j00g	87.03	−3.35	82.83	82.9	92	*o92y*
j25g	80.72	−25.01	69.5	73.86	110	*y20l*
j50g	70.64	−39.54	51.97	65.3	127	*y46l*
j75g	61.93	−52.1	36.83	63.8	145	*y72l*
g00b	52.8	−65.28	20.93	68.56	162	*y99l*
g25b	55.7	−49.58	−8.39	50.28	190	*l36c*
g50b	57.82	−38.4	−28.92	48.07	217	*l72c*
g75b	55.5	−22.05	−45.95	50.97	244	*c11v*
b00r	41.6	1.37	−45.01	45.03	272	*c56v*
b25r	29.0	25.08	−43.13	49.89	300	*v04m*
b50r	38.04	46.53	−28.39	54.51	329	*v55m*
b75r	49.48	72.88	−3.76	72.98	357	*m11o*

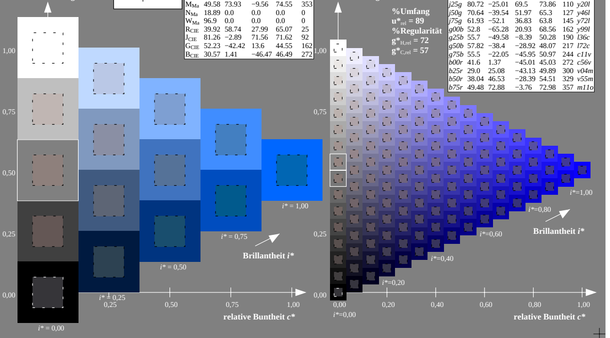

Ein und Ausgabe: Farbmetrisches Drucker-Reflektiv-System ORS19_96, L*=19_96 für relativen CIELAB-Buntton h^* = lab^*h^* = h_{ab}/360 = 0.913 u^*_e = *b50r*

Daten für jede Farbe:
*lab*tch** und *lab*icu**
Bunttontexte:
u^*_e = *b50r* u^*_d = *v55m*
Kontrastreduzierungsfaktor:
c_R = 1.0
Dreiecks-Helligkeit t^*

ORS19_96a; adaptierte CIELAB-Daten					
u^*_e	$L^*=L^*_a$	a^*_a	b^*_a	$C^*_{ab,a}$	$h^*_{ab,a}$
O_{Ma}	48.75	65.07	39.43	76.08	31
Y_{Ma}	90.92	−10.29	87.24	87.85	97
L_{Ma}	52.69	−65.44	20.75	68.65	162
C_{Ma}	59.61	−28.98	−46.22	54.56	238
V_{Ma}	28.39	23.63	−44.13	50.06	298
M_{Ma}	49.58	73.93	−9.56	74.55	353
N_{Ma}	18.89	0.0	0.0	0.0	0
W_{Ma}	96.9	0.0	0.0	0.0	0
R_{CIE}	39.92	58.74	27.99	65.07	25
J_{CIE}	81.26	−2.89	71.56	71.62	92
G_{CIE}	52.23	−42.42	13.6	44.55	162
B_{CIE}	30.57	1.41	−46.47	46.49	272

Daten für Maximalfarbe (Ma):
*LAB*LAB**$_{Ma}$: 38 47 −28
*LAB*LCH**$_{Ma}$: 38 55 328
*lab*rgb**$_{Ma}$: 1.0 0.0 1.0
*lab*olv**$_{Ma}$: 0.56 0.0 1.0
Dreiecks-Helligkeit t^*

%Umfang
u^*_{rel} = 89
%Regularität
$g^*_{H,rel}$ = 72
$g^*_{C,rel}$ = 57

ORS19_96a; adaptierte CIELAB-Daten						
u^*_e	$L^*=L^*_a$	a^*_a	b^*_a	$C^*_{ab,a}$	$h^*_{ab,a}$	u^*_d
r00j	48.88	66.47	31.67	73.63	25	*m84o*
r25j	55.85	52.39	47.48	70.7	42	*o17y*
r50j	65.45	35.22	58.37	68.17	59	*o42y*
r75j	75.19	17.82	69.41	71.66	76	*o67y*
j00g	87.03	−3.35	82.83	82.9	92	*o92y*
j25g	80.72	−25.01	69.5	73.86	110	*y20l*
j50g	70.64	−39.54	51.97	65.3	127	*y46l*
j75g	61.93	−52.1	36.83	63.8	145	*y72l*
g00b	52.8	−65.28	20.93	68.56	162	*y99l*
g25b	55.7	−49.58	−8.39	50.28	190	*l36c*
g50b	57.82	−38.4	−28.92	48.07	217	*l72c*
g75b	55.5	−22.05	−45.95	50.97	244	*c11v*
b00r	41.6	1.37	−45.01	45.03	272	*c56v*
b25r	29.0	25.08	−43.13	49.89	300	*v04m*
b50r	38.04	46.53	−28.39	54.51	329	*v55m*
b75r	49.48	72.88	−3.76	72.98	357	*m11o*

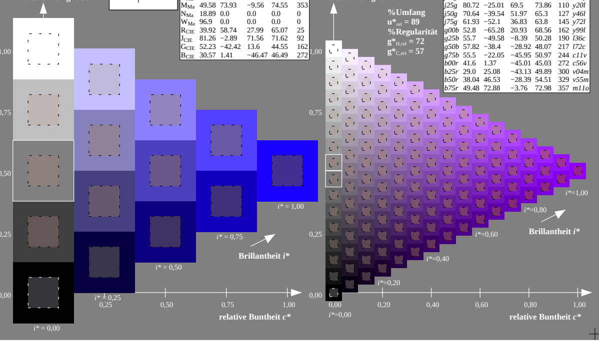

Ein und Ausgabe: Farbmetrisches Drucker-Reflektiv-System ORS19_96, L*=19_96 für relativen CIELAB-Buntton h^* = lab^*h^* = h_{ab}/360 = 0.992 u^*_e = *b75r*

Daten für jede Farbe:
*lab*tch** und *lab*icu**
Bunttontexte:
u^*_e = *b75r* u^*_d = *m11o*
Kontrastreduzierungsfaktor:
c_R = 1.0
Dreiecks-Helligkeit t^*

ORS19_96a; adaptierte CIELAB-Daten					
u^*_e	$L^*=L^*_a$	a^*_a	b^*_a	$C^*_{ab,a}$	$h^*_{ab,a}$
O_{Ma}	48.75	65.07	39.43	76.08	31
Y_{Ma}	90.92	−10.29	87.24	87.85	97
L_{Ma}	52.69	−65.44	20.75	68.65	162
C_{Ma}	59.61	−28.98	−46.22	54.56	238
V_{Ma}	28.39	23.63	−44.13	50.06	298
M_{Ma}	49.58	73.93	−9.56	74.55	353
N_{Ma}	18.89	0.0	0.0	0.0	0
W_{Ma}	96.9	0.0	0.0	0.0	0
R_{CIE}	39.92	58.74	27.99	65.07	25
J_{CIE}	81.26	−2.89	71.56	71.62	92
G_{CIE}	52.23	−42.42	13.6	44.55	162
B_{CIE}	30.57	1.41	−46.47	46.49	272

Daten für Maximalfarbe (Ma):
*LAB*LAB**$_{Ma}$: 49 73 −4
*LAB*LCH**$_{Ma}$: 49 73 357
*lab*rgb**$_{Ma}$: 1.0 0.0 0.5
*lab*olv**$_{Ma}$: 1.0 0.0 0.89
Dreiecks-Helligkeit t^*

%Umfang
u^*_{rel} = 89
%Regularität
$g^*_{H,rel}$ = 72
$g^*_{C,rel}$ = 57
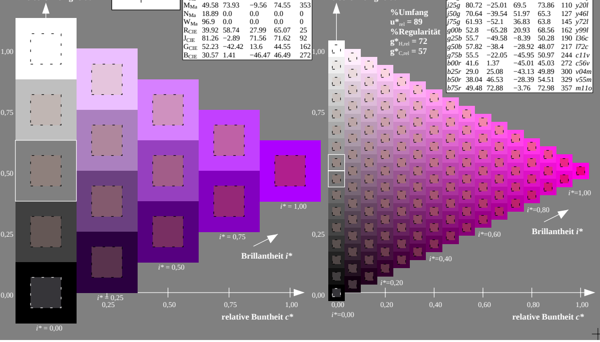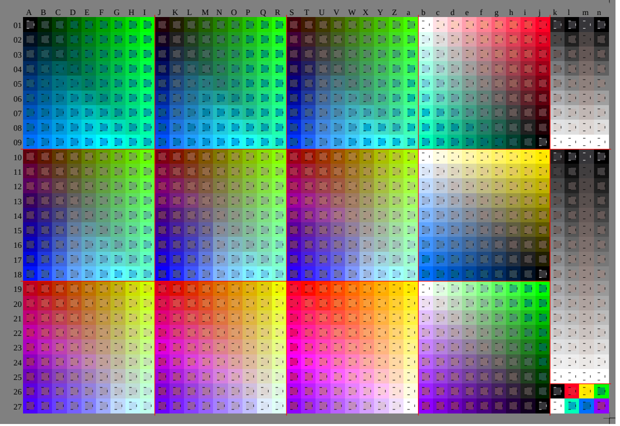
ORS19_96a; adaptierte CIELAB-Daten						
u^*_e	$L^*=L^*_a$	a^*_a	b^*_a	$C^*_{ab,a}$	$h^*_{ab,a}$	u^*_d
r00j	48.88	66.47	31.67	73.63	25	*m84o*
r25j	55.85	52.39	47.48	70.7	42	*o17y*
r50j	65.45	35.22	58.37	68.17	59	*o42y*
r75j	75.19	17.82	69.41	71.66	76	*o67y*
j00g	87.03	−3.35	82.83	82.9	92	*o92y*
j25g	80.72	−25.01	69.5	73.86	110	*y20l*
j50g	70.64	−39.54	51.97	65.3	127	*y46l*
j75g	61.93	−52.1	36.83	63.8	145	*y72l*
g00b	52.8	−65.28	20.93	68.56	162	*y99l*
g25b	55.7	−49.58	−8.39	50.28	190	*l36c*
g50b	57.82	−38.4	−28.92	48.07	217	*l72c*
g75b	55.5	−22.05	−45.95	50.97	244	*c11v*
b00r	41.6	1.37	−45.01	45.03	272	*c56v*
b25r	29.0	25.08	−43.13	49.89	300	*v04m*
b50r	38.04	46.53	−28.39	54.51	329	*v55m*
b75r	49.48	72.88	−3.76	72.98	357	*m11o*